

目次

1	目的	1
2	リーマン面上のブラウン運動 2015 版から必要な項の抜粋	1
3	ドリフト項の意味	2
4	蓋然項が座標不変となる表現	2
5	サンプル	3
5.1	,	4
5.2	x,y	5
5.3	比較	6

1 目的

2 0 1 5 版 [3] では、文献 [2, pp. 180–199] に従って、 d 次元リーマン曲面 (M) 上のブラウン運動を構成する方法を示し、いくつかの 2 次曲面上に、ブラウン運動を実現するシミュレーションプログラムを与えた。この版では、加えて、文献 [1] を参考として、リーマン曲面のブラウン運動のドリフト項の意味および、蓋然性を表す部分 (つまり dB_t の係数) が座標変換で不変となるように構築できることを示す。最後に球面上の 2 つの局所座標による表現で、シミュレーション結果が不変であることを与える。

2 リーマン面上のブラウン運動 2015 版から必要な項の抜粋

M を d 次元リーマン多様体、その開集合 U 上での局所座標を $\{u^i\}$ 、 $\{B^i\}$ を局所座標上の通常 (ユークリッド空間として) の d 次元ブラウン運動、 $r(u)$ を局所座標 $\{u^i\}$ から M への写像、 $\{g_{i,j}\}$ をその第一基本量、すなわち $r_{,i} = \frac{\partial r}{\partial u^i}$ として、 $g_{ij} = r_{,i} \cdot r_{,j}$ (内積) さらに、 (g^{ij}) を第一基本量の逆行列、 e_j^i を、 (g^{ij}) の平方、即ち

$$\sum_k e_k^i e_k^j = g^{ij}$$

また、接続係数 Γ_{ij}^k および h_{ij} を r の 2 階微分 $r_{,ij} = \frac{\partial r_{,i}}{\partial u^j} = \Gamma_{ij}^k r_{,k} + h_{ij}$ で定義する。(つまり、 Γ_{ij}^k は、接ベクトル $r_{,k}$ の成分であり、 e_j^i は接ベクトルと直交する正規化されたベクトル (3 次元内のリーマン曲面

*1 1950 年生まれ、鹿児島大学数学科大阪市立大学修士京都大学理学部博士を経て、情報数理研究所に入社、在学時代の専攻は、エルゴード理論、会社時代は、人工知能および人工衛星 TERRA に搭載された ASTER センサーの運用プログラムの開発などを担当、退職後、コンピュータと数学との間の諸問題をランダムに追跡

($d=2$) の場合は長さ 1 の法線ベクトル、 h_{ij} はヘシアン)、 $b^k = -\frac{1}{2}g^{ij} \frac{k}{ij}$ とおいて、 $\{u_t^k\}$ を

$$du_t^i = \frac{i}{j} dB_t^j + b^i dt \quad (1)$$

と与えると、この式を満たす $\{u_t^i\}$ は、 M 上の (例えば有界なサポートをもつ滑らかな) 関数 f に対して、

$$\frac{\partial E_u f(u_t)}{\partial t} = \frac{1}{2} \frac{u}{u} E_u [f(u_t)] \quad (2)$$

を満たすこと、即ち M^d 上のブラウン運動であることが分かる。([3, section 9]) ここで u は変数 $\{u^i\}$ にたいする Laplace Bertrami operator 文献 ([3, section 8.5])。

3 ドリフト項の意味

上のセクションで定義された u_t 、 $r(u)$ を用いる。 $r(u_t)$ が実際の M 上に表現されたブラウン運動であるが、 $r(u_t)$ が満たす方程式は、伊藤の公式によれば、

$$dr = r_{,i} du^i + \frac{1}{2} r_{,i,j} du^i du^j \quad (3)$$

$$= r_{,i} \frac{i}{j} dB^j + \frac{1}{2} (r_{,i,j} \sum_k \frac{i}{k} \frac{j}{k} + 2r_{,i} b^i) \quad (4)$$

$$= r_{,i} \frac{i}{j} dB^j + \frac{1}{2} (r_{,i} (-\frac{i}{jk} g^{jk}) + g^{jk} r_{,jk}) dt \quad (5)$$

となる。

このドリフト項 (dt の係数) は、ベクトル r の (直交座標系としての) Laplace Bertrami operator $\frac{1}{2} \Delta r$ であり、一方、接続係数の定義により、 $g^{jk}(r_{,jk} - \frac{i}{jk} r_{,i}) = g^{jk} h_{ij}$ となる。前セクションで述べたように $d=2$ では、 h_{ij} はヘシアンであり、 $\frac{i}{j}$ は曲面の接平面に対する法線ベクトルである。 $g^{jk} h_{ij}$ は、文献 ([3][section 7 脚注]) によれば平均曲率 $\cdot d$ である。とくに $d=2$ の場合は、式 5 のドリフト項は平均曲率 \cdot 、つまり 2 次曲面でのブラウン運動のドリフト項は各曲面上の点で、法線ベクトル方向に平均曲率分動くということになる。また、文献 ([3][section 9.1 脚注]) によれば、この $r(u_t)$ のドリフト項がラプラシアン形で与えられることは、 u_t がブラウン運動になるための必要条件である。つまり、2 次曲面 M 上で与えられたブラウン運動 (確率微分方程式の形で与えられた) のドリフト項は、その曲面上の法線ベクトル方向に平均曲率分動く。このことは、 d が一般 ($d > 2$) でも同様の議論ができる。

4 蓋然項が座標不変となる表現

[3] では、 M 上のブラウン運動の構成に、

$$du_t^i = \frac{i}{j} dB_t^j + b^i dt \quad (6)$$

を使用した。この時 ($\frac{i}{j}$) は、 (g^{ij}) の平方を与える (滑らかな) 行列であればなんでもよく、実際 [3] であえた 2 次曲面上のブラウン運動の具体例では、 (g^{ij}) を Cholesky 分解 (上三角行列として非負値対象行列の平方を与える方法) した結果を $\frac{i}{j}$ とした。しかしながら、その結果 $\frac{i}{j} dB_t^j$ は座標変換で不変ではなく、したがって出力される M 上のブラウン運動も座標依存のものになった。([3, 付録 D、E]) ここでは、[1] のアイ

デアに従い、概然部分の次元をひとつあげて $g^{ij}r_{,j} \cdot dB_t$ を考える。ここで dB_t はベクトルで \cdot はベクトル上の内積、つまり $d=2$ であれば、3次元のカルテジアン（つまり R^3 ）上の通常のブラウン運動であり \cdot は通常の意味での内積である。また、 $(g^{il}r_{,l} \cdot dB_t)(g^{j'l'}r'_{,l'} \cdot dB_t) = g^{il}r_{,l} \cdot r_{,l'}g^{j'l'} dt = g^{il}g_{ll'}g^{j'l'} = g^{il} \delta_{ll'} = g^{ij}$ となることに注意すると、 $g^{ij}r_{,j} \cdot dB_t$ は $\delta^j_i dB_t^j$ の代わりになることが分かる。

まとめると

$$du_t^i = g^{ij}r_{,j} \cdot dB_t + b^i dt \quad (7)$$

$$b^k = -\frac{1}{2}g^{ij} \delta^k_{ij} \quad (8)$$

を用いて、 dr を展開すると、

$$\begin{aligned} dr &= r_{,i} du^i + \frac{1}{2}r_{,ij} du^i du^j \\ &= r_{,i} g^{ik}r_{,k} \cdot dB_t + \frac{1}{2}\{2r_{,i} b^i dt + r_{,ij} (g^{ik}r_{,k} \cdot dB_t)(g^{j'k'}r'_{,k'} \cdot dB_t)\} \\ &= r_{,i} g^{ik}r_{,k} \cdot dB_t + \frac{1}{2}\{2r_{,i} b^i + r_{,ij} (g^{ik}g^{j'k'}r_{,k} \cdot r'_{,k'})\}dt \\ &= r_{,i} g^{ik}r_{,k} \cdot dB_t + \frac{1}{2}\{-r_{,i} g^{kl} \delta^i_{kl} + r_{,ij} g^{ik}g^{j'k'}g_{kk'}\}dt \\ &= r_{,i} g^{ik}r_{,k} \cdot dB_t + \frac{1}{2}\{-r_{,i} g^{kl} \delta^i_{kl} + r_{,ij} g^{ik} \delta^j_k\}dt \\ &= r_{,i} g^{ik}r_{,k} \cdot dB_t + \frac{1}{2}\{g^{kl}(r_{,kl} - \delta^i_{kl}r_{,i})\}dt \end{aligned}$$

となり、前セクションで示したように dr のドリフト項 $\frac{1}{2}\{g^{kl}(r_{,kl} - \delta^i_{kl}r_{,i})\}$ は幾何的量 ($d=2$ では、法線方向で、その大きさは平均曲率) 蓋然項 $r_{,i} g^{ik}r_{,k}$ は、座標変換で不変な量である。

5 サンプル

球面上の2つの座標系でのシミュレーションをあたえる。

5.1 ,

局所座標から M への写像を f(今まで r としてきたが球面の半径と混乱するので、r を球面の半径として、[3, 節 1.1,2.1,3.1] より

$$\begin{aligned}
 f &= (r \sin \theta \cos \phi, r \sin \theta \sin \phi, r \cos \theta) \\
 f_x &= (r \cos \theta \cos \phi, r \cos \theta \sin \phi, -r \sin \theta) \\
 f_y &= (-r \sin \theta \cos \phi, r \sin \theta \sin \phi, 0) \\
 g &= r^2 \\
 g_x &= r^2 \sin^2 \theta \\
 g_{xx} &= g_{yy} = 0 \\
 g_z &= r^{-2} \\
 g_{zz} &= r^{-2} \sin^{-2} \theta \\
 g_{xz} &= g_{zx} = 0 \\
 g_{xy} &= 0, \quad g_{yx} = 0, \quad g_{yz} = 0, \quad g_{zy} = -\sin \theta \cos \phi, \\
 g_{xz} &= 0, \quad g_{zx} = \frac{\cos \theta}{\sin \theta}, \quad g_{yz} = \frac{\cos \theta}{\sin \theta}, \quad g_{zy} = 0
 \end{aligned}$$

式 (7)、(8) に代入する。

$$\begin{aligned}
 d &= \frac{1}{r^2} f_x \cdot dB_t + \frac{1}{2r^2} \frac{\cos \theta}{\sin \theta} dt \\
 &= \frac{1}{r} (\cos \theta \cos \phi, \cos \theta \sin \phi, -\sin \theta) \cdot dB_t + \frac{1}{2r^2} \frac{\cos \theta}{\sin \theta} dt \\
 d &= \frac{1}{r^2 \sin^2 \theta} f_y \cdot dB_t \\
 &= \frac{1}{r \sin \theta} (-\sin \theta \cos \phi, \sin \theta \sin \phi, 0) \cdot dB_t
 \end{aligned}$$

この式を離散化して、初期値 $(x_0, y_0) = (4/\sqrt{2}, 4/\sqrt{2})$ で t_0, t_1 をシミュレートし、 $f(x_t, y_t)$ で球面 (r=10.) 上に配置した図が以下である。

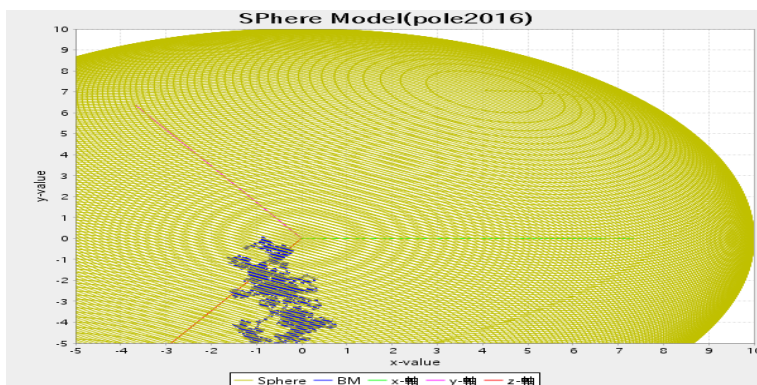


図 1 BrownMortion Sphere モデル (2016 版 Pole 座標)

5.2 x,y

[3, 付録 D] より

$$f(x, y) \longrightarrow (x, y, z), z = \sqrt{r^2 - x^2 - y^2} \quad (9)$$

$$f_{,x} = (1, 0, -\frac{x}{z}), f_{,y} = (0, 1, -\frac{y}{z})$$

$$G = \begin{pmatrix} g_{xx} & g_{xy} \\ g_{yx} & g_{yy} \end{pmatrix} = \begin{pmatrix} 1 + \frac{x^2}{z^2} & \frac{xy}{z^2} \\ \frac{xy}{z^2} & 1 + \frac{y^2}{z^2} \end{pmatrix}$$

$$G^{-1} = \begin{pmatrix} g^{xx} & g^{xy} \\ g^{yx} & g^{yy} \end{pmatrix} = \frac{1}{r^2} \begin{pmatrix} r^2 - x^2 & -xy \\ -xy & r^2 - y^2 \end{pmatrix}$$

$$\frac{x}{xx} = \frac{x(r^2 - y^2)}{r^2 z^2}$$

$$\frac{y}{xx} = \frac{y(r^2 - y^2)}{r^2 z^2}$$

$$\frac{x}{xy} = \frac{x^2 y}{r^2 z^2}$$

$$\frac{y}{xy} = \frac{xy^2}{r^2 z^2}$$

$$\frac{x}{yy} = \frac{x(r^2 - x^2)}{r^2 z^2}$$

$$\frac{y}{yy} = \frac{y(r^2 - x^2)}{r^2 z^2}$$

$$\frac{x}{yx} = \frac{x}{xy}$$

$$\frac{y}{yx} = \frac{y}{xy}$$

式 (7)、(8) に代入する。

$$dx = \left(\frac{r^2 - x^2}{r^2} f_{,x} - \frac{xy}{r^2} f_{,y} \right) \cdot dB_t - \frac{1}{2} g^{ij} \frac{x}{ij} dt$$

$$dy = \left(-\frac{xy}{r^2} f_{,x} + \frac{r^2 - y^2}{r^2} f_{,y} \right) \cdot dB_t - \frac{1}{2} g^{ij} \frac{y}{ij} dt$$

-- >

$$dx = \frac{1}{r^2} (r^2 - x^2, -xy, -xz) \cdot dB_t - \frac{x}{r^2} dt$$

$$dy = \frac{1}{r^2} (-xy, r^2 - y^2, -yz) \cdot dB_t - \frac{y}{r^2} dt$$

この式を離散化して、初期値 $(x_0, y_0) = r(1/2, 1/2)$ で x_t, y_t をシミュレートし、 $f(x_t, y_t)$ で球面 ($r=10.$) 上に配置した図が以下である。

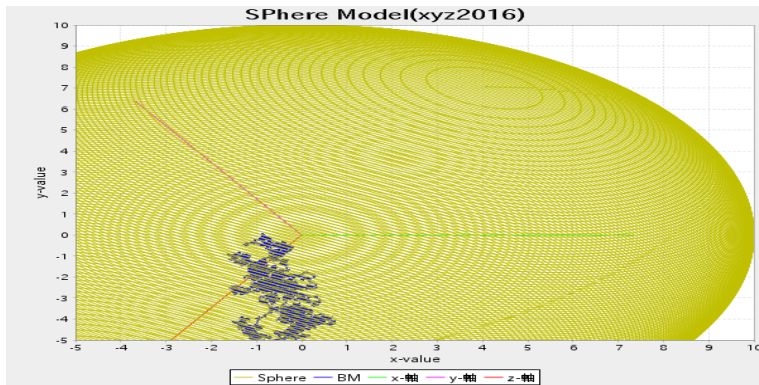


図2 BrownMortion Sphere モデル (2016 版 XY-座標)

5.3 比較

両者の比較 (pole 版のデータと xy 版データの同時刻での座標の差の絶対値、X 軸は時間ステップ) をグラフにしたものを次に与える。

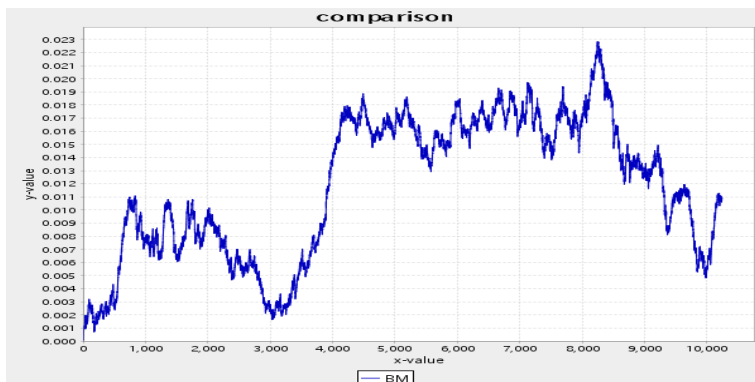


図3 pole モデルと XY モデルの差異

図のように極座標で表現したブラウン運動と、直角 (x, y) 座標で表現したブラウン運動の差異はない (理論上一致するのだから当然であるが) としてよい。

参考文献

- [1] Richard M. Durrant and Aubrey Truman. Brownian motion on hypersurfaces and computer simulation, 1988. In Stochastic Mechanics and Stochastic Process, Lecture Note Math.,1325, 89-100.
- [2] 高橋陽一郎 (編). 伊藤清の数学. 日本評論社, 2011.
- [3] 大野泰治郎. 理論仕様書 2015.12.22 (2 次曲面上の測地線とブラウン運動), 2015.
<http://54.238.140.1/tips.html>.